

UN COMPLEX FUNERAR MEDIEVAL DESCOPERIT LA ȘIBOT (JUD. ALBA). DATE ARHEOLOGICE ȘI ANTROPOLOGICE

Andra SAMSON^a, Gabriel VASILE^b

^a Muzeul Național de Istorie a României, București; e-mail: andrasamson@gmail.com

^b Institutul de Arheologie „Vasile Pârvan”, București; e-mail: gsvasile@yahoo.com

Keywords: Șibot, Câmpul Pâinii, skeleton, sex determination, age at death, stature estimation, morphometry, pathology, non-metric features, functional stress

Abstract: The medieval site of Șibot (Alba County) was investigated in 2012 and consequently dated to the 15th century. The settlement was destroyed during the battle of Câmpul Pâinii (October 13, 1479). The present paper presents the results of the anthropological analysis of a burial within the Medieval settlement. The presented data contributes to a better image of the life and death during the above mentioned period.

Cuvinte-cheie: Șibot, Câmpul Pâinii, schelet, determinare sex, estimare vîrstă la deces, estimare statură, morfometrie, condiții patologice, caractere non-metrice, stres funcțional

Rezumat: Așezarea medievală de la Șibot (jud. Alba) a fost cercetată în anul 2012, fiind datată în secolul al XV-lea și distrusă în timpul bătăliei de la Câmpul Pâinii (13 octombrie 1479). Articolul de față prezintă rezultatele analizei antropologice a unui schelet descoperit în așezarea medievală. Datele prezentate întregesc imaginea generală a vieții și morții în perioada mai sus amintită.

AMPLASAREA GEOGRAFICĂ A SITULUI ȘI UN SCURT ISTORIC AL ZONEI DE INTERES

Așezarea medievală cercetată se află situată între localitățile Sebeș și Orăștie, în apropiere de actualul sat Șibot (jud. Alba), pe malul stâng al râului Cugir, aproape de vârsarea acestuia în râul Mureș. Situl a fost cercetat în anul 2012¹, fiind efectuate săpături arheologice cu caracter preventiv². Literatura de specialitate menționează câteva descoperiri în legătură cu zona ce a fost afectată de construcția autostrăzii A1 pe tronsonul Orăștie-Sebeș³ (Fig. 1).

Satul Șibot este menționat pentru prima dată în anul 1281, sub denumirea de Kenyér, pentru ca mai apoi, la

1330, să apară în documente sub denumirea Kunyrthu⁴. Ulterior, pe la 1332–1338, apare sub forma Kunertu. Șibotul este menționat între cele 2500–2600 de așezări evidențiate la prima atestare documentară dintre anii 1075–1350⁵.

Evenimentul cel mai important petrecut pe actualul teritoriu al localității Șibot se leagă de lupta purtată împotriva turcilor în vremea regelui Matei Corvin. Evenimentul este cunoscut sub numele de Bătălia de la Câmpul Pâinii (13 octombrie 1479), avându-l în prim plan pe Paul Kineszi, comitele Timișoarei⁶. Lupta s-a dat pe câmpia dintre malul stâng al Mureșului și confluența Cugirului cu acesta⁷. Dispunerea celor două oștiri s-a făcut în funcție de conformația terenului din acea perioadă și de

¹ În toamna anului 2011 a fost identificat în urma capmaniei de diagnostic arheologic. Date preliminare despre micro-zona în care se află amplasat situl au fost colectate ca parte a evaluării teoretice din aceeași perioadă (Damian et alii 2012).

² Damian et alii 2013; pentru metodologia de cercetare arheologică, precum și pentru detalierea stratigrafiei, vezi Samson et alii 2015 și Samson 2015.

³ În zona localității Șibot, pe lângă urmele așezării medievale mai sus amintite, mai sunt semnalate două stațiuni arheologice: o așezare Coțofeni și vestigii ale unor construcții de factură romană (cărămizi și tigle) localizate la ramificarea drumului de la gara Șibot spre satul Vinerea (Moga, Ciugudean 1995, p. 180–181, nr. 179; Popa 2011, p. 692–695).

⁴ Pentru întreaga discuție privind denumirile zonei Șibot, vezi Popa 2011, 648–649.

⁵ Nicolaus Olahus relatează că în anii 1536–1537, „Lângă orașul Orăștie [...] se află la o milă mai spre nord un sat care se numește al Pâinei

[Kenyér]”. Informații în legătură cu prima mențiune scrisă despre Șibot se regăsesc în lucrarea lui C. Suciu (Suciu 1968, p. 194).

⁶ Izvoarele documentare referitoare la bătălie sunt constituite de cronicile ungurești – lucrarea lui Antonio Bonfini *Rerum Hungaricarum decades quatuor cum dimidia* (Călători străini... 1968, p. 480); cronicile turcești oferă date importante despre luptă (vezi Popa 2010, p. 271, nota 9), precum și lucrarea lui Nicolaus Olahus (Călători străini... 1968, p. 493), dar și a italianului Giovan Andrea Gromo (pentru bibliografia la zi, vezi Popa 2010, p. 271–272).

⁷ Armata creștină se află sub comanda voievodului Transilvaniei, István Báthory (sub ordinile sale aflându-se Anton Kendy, comandanțul secuilor, judele și primarul Sibiului Georg Hecht, despotul sărb Demeter Jakšić, precum și Paul Kineszi. De partea aceleiași forțe participă și fostul domn al Tării Românești, Laiotă Basarab, refugiat în Transilvania (Popa 2010, p. 276). De partea cealaltă, armata otomană era formată din frații Mihaloglu. Alături de aceștia se află domnul Tării Românești în funcție la acea dată, Basarab al IV-lea cel Tânăr (Hațegan 1978, p. 266).

existența vărei satului medieval Șibot – situat între cele două linii⁸; bătălia a fost câștigată de oastea creștină.

În anul 1739, Șibotul se afla în vatra sa actuală. Dispunerea loturilor și a caselor, de-a lungul unui drum

paralel cu Mureșul, confirmă tradiția orientării străzilor în vechime⁹. La trei secole după bătălie, pe o hartă din secolul al XVIII-lea, vatra Șibotului ne apare pe locul celei actuale, la stânga gurii de vărsare a râului Cugir în Mureș¹⁰.

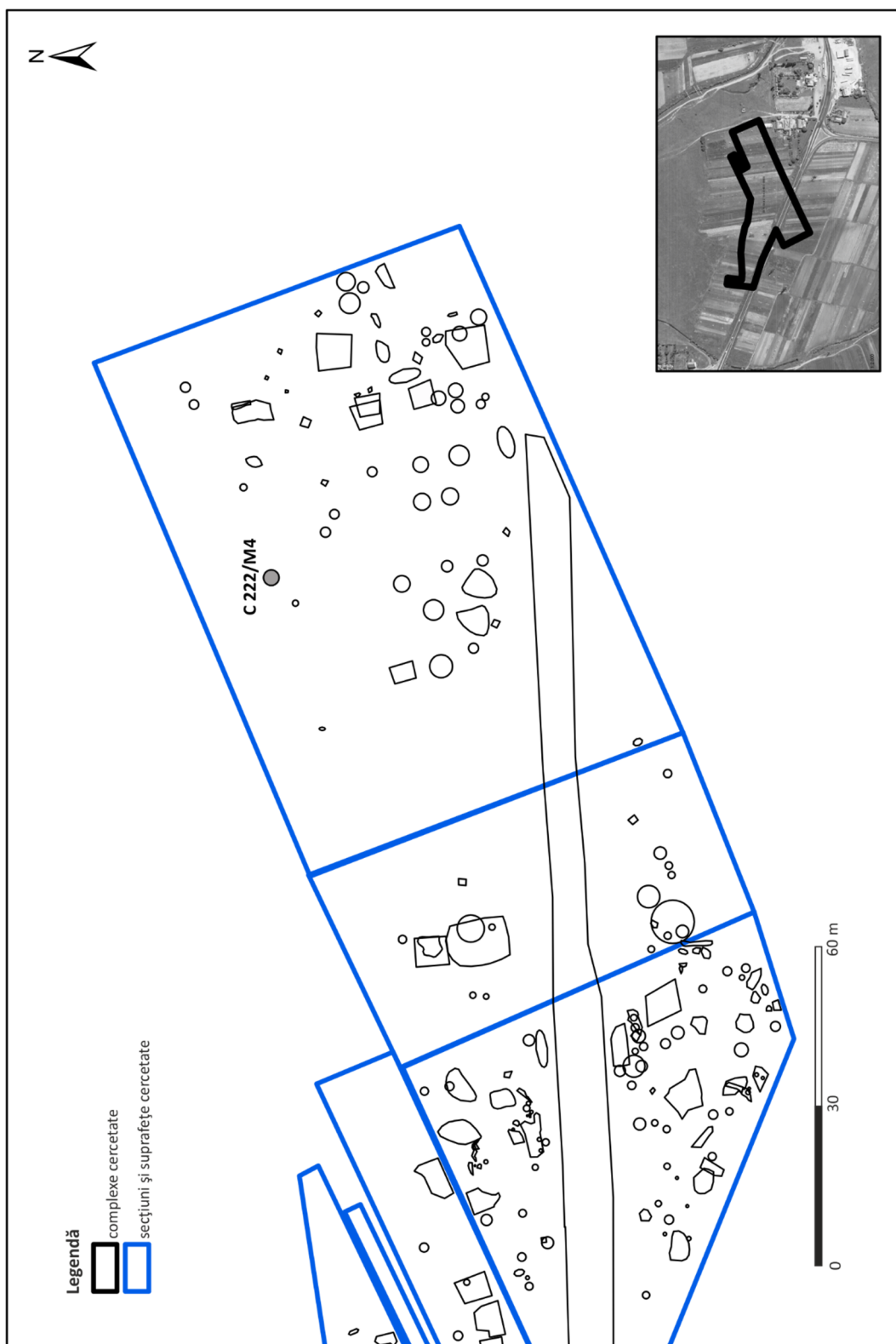


Fig. 1. Planul general al săpăturilor cu amplasarea mormântului / General plan of the excavation and the location of the burial.

⁸ Popa 2010, p. 285, fig. 3 și p. 290, fig. 6.

⁹ Popa 2011, p. 441.

¹⁰ Pentru cartarea iosefină care ne interesează, vezi link-ul: <http://lazarus.elte.hu/hun/digkonyv/topo/200e/>.

M4. COORDONATE IN SITU

Din cele 300 de complexe cercetate, patru au fost morminte de inhumare. Dintre acestea, două (M2 și M3) aparțin necropolei medievale, care se află sud de așezarea din aceeași perioadă; scheletele au fost găsite în conexiune anatomică. Alte două morminte aparțin nivelului de distrugere din 1479, defuncții fiind înhumate în așezare (M1

este o reînhumare, iar M4 a fost găsit în conexiune anatomică). Ambele schelete păstrează pe oase urme de violență. Pe lângă cele patru morminte, care sunt clar delimitate, există și oase umane (clavicule, mandibule, vertebre, ulna, radius) ce nu pot fi atribuite nici unui mormânt. Acestea sunt împrăștiate pe suprafața așezării și provin din nivelul de distrugere al bătăliei menționate mai sus, aproape toate prezentând urme de violență.



Fig. 2. Complexul 222: 1. imaginea grundului complexului 222 din momentul identificării; 2. imaginea profilului gropii (cpl. 222) / Feature 222: 1. Ground plan of feature 222 at identification; 2. Feature 222 – section plan of the pit.



Fig. 3. Complexul M4: 1. imaginea din momentul identificării; 2. imaginea mormântului după curățare / Burial M4: 1. at the moment of identification; 2. after cleaning.

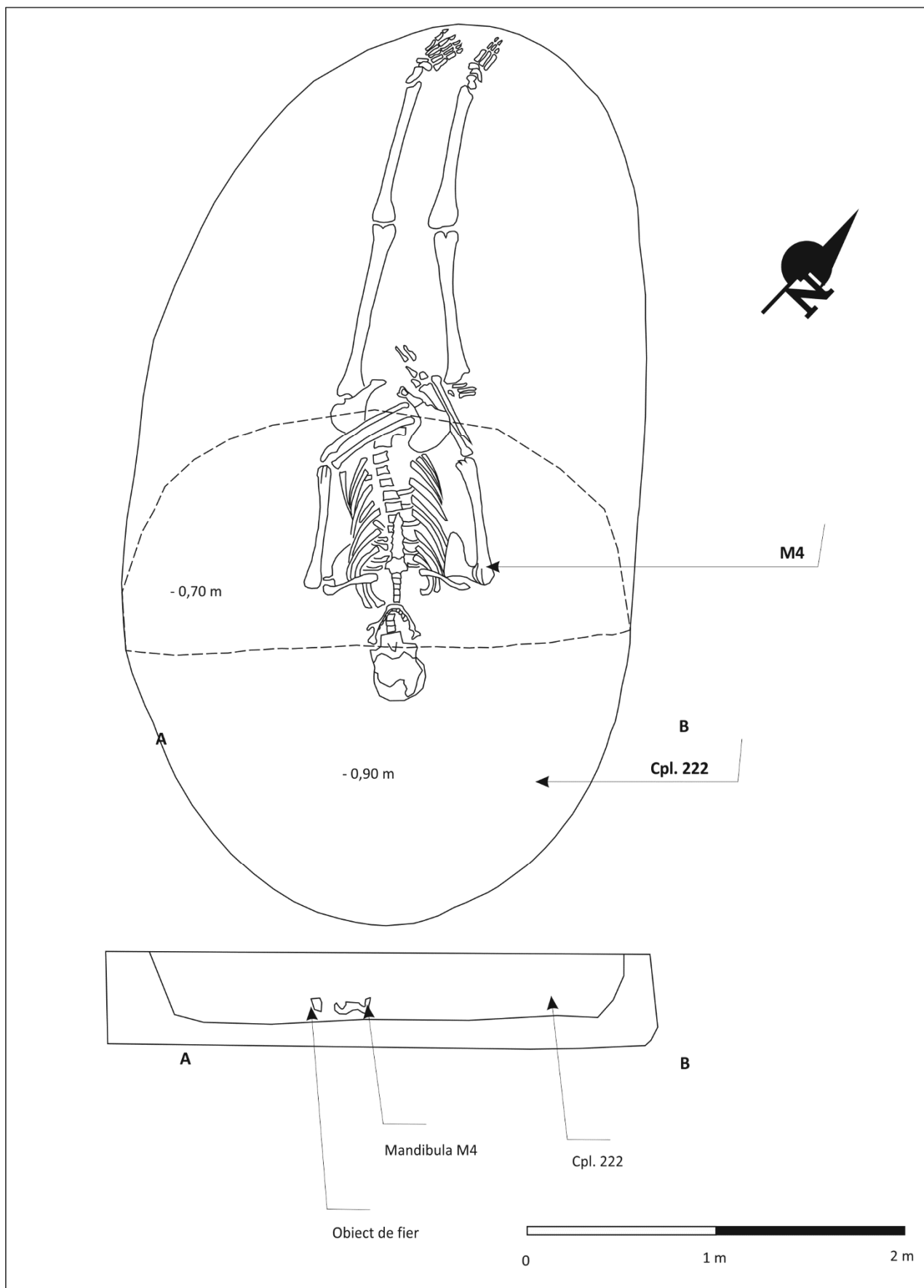


Fig. 4. Complexul 222 și M4, grund și profil / Feature 222 and burial M4, ground and section plans.

Complexul arheologic pe care îl luăm în discuție este un mormânt de inhumare (Fig. 3), identificat în cadrul așezării medievale, în zona periferică de NV a sitului. Mormântul era orientat NV-SE și se afla în suprafața SA2, la o adâncime de -0,60 m (Fig. 2). Groapa mormântului suprapunea în totalitate groapa complexului cpl. 222 (groapă menajeră). Scheletul se afla în poziție decubit dorsal, cu brațele întinse pe lângă corp, antebrațul stâng adus pe bazin, iar antebrațul drept aflat sub extremitatea osului ilion drept. Picioarele erau întinse, fiind ușor înclinate spre stânga față de axul corpului; degetele de la picioare erau dispuse vertical, cu tălpile lipite de peretele gropii (Fig. 4). În dreapta craniului a fost identificat un obiect de metal (o cataramă), iar sub umărul stâng a fost găsit un capăt de tibia de cal, probabil resturi din groapa menajeră. În momentul înregistrării pe teren a scheletului, a putut fi observat, la nivelul craniului (în dreptul urechii drepte), urma lăsată pe os cu un obiect tăios.

Întrucât bătălia de la Câmpul Pânii a lăsat urme vizibile pe teren (fiind identificat un nivel de distrugere pe întreg situl, nivel în care au fost identificate diferite arme: săbii, cuțite de luptă, vârfuri de săgeți etc.), putem deduce că lovitura pe care a primit-o individul provine de la o armă cu tăș ascuțit, cel mai probabil o sabie sau un cuțit de luptă. În așezarea medievală de la Șibot, a fost descoperit un număr de 11 cuțite de luptă¹¹ și o sabie. Un element atipic este reprezentat de depunerea scheletului în groapă (capul la SE și picioarele la NV), care, probabil, s-a făcut în grabă, precum și de adâncimea, deloc mare, la care a fost îngropat.

Complexul 222 este o groapă menajeră, ce se află la limita de NV a așezării. Adâncimea de identificare este -0,60 m, cu o adâncime internă de 0,25 m și cu diametrul de $1,70 \times 1,50$ m. Conținutul gropii menajere este compus dintr-un sediment brun, afânat, și câteva oase de animal. Tocmai acest conținut afânat a făcut ușoară săparea gropii individului în discuție.

Dacă necropola așezării a fost identificată la sud de aceasta, indivizii fiind depuși pe șiruri paralele, pe direcția V-E; este evident că M4 este un individ căzut în luptă de la Câmpul Pânii, înmormântat în grabă în cadrul așezării. Este cu atât mai importantă descoperirea, pentru că avem un moment istoric prezent în documente, pe care îl putem identifica în teren, cu ajutorul arheologiei. Totodată, avem un combatant Tânăr, căzut în luptă de la Câmpul Pânii, un individ cu urme clare de violență care, cel mai probabil, i-a cauzat decesul.

Starea de conservare

În vederea stabilirii stării de conservare, am urmat modelele propuse de Behrensmeyer¹², Connell¹³ și Brickley și McKinley¹⁴. Astfel, resturile scheletice sunt bine conservate și nu prezintă dezintegrări postume

semnificative (fisurare sau exfoliere). De asemenea, diafizele oaselor lungi și suprafetele articulare prezintă ușoare eroziuni post-mortem cauzate de agenții tafonomici din sol.



Fig. 5. Starea de reprezentare a scheletului / Skeletal preservation.

Descrierea materialului scheletic

Scheletul este aproximativ complet (Fig. 5), iar în urma restaurării segmentelor componente a rezultat un craniu incomplet, parțial conexat, care prezintă la nivelul calvariei o serie de lipsuri, în special la nivelul scuamelor. Din masivul facial au fost recuperate oasele zigomatice (cel de pe dreapta este incomplet), trei fragmente de mici dimensiuni din sfenoid și un fragment de maxilă ce cuprinde corpurile alveolare, bilateral. De la nivelul

¹¹ Cuțitele de luptă au făcut obiectul comunicării: *Battle Knives From The Collection Of National Museum Of History, Romania*, Silviu Oța, Andra Samson, "Interethnic Relations in Transylvania. Militaria Mediaevalia in Central and South-Eastern Europe", Sibiu, October 15th-18th, 2015.

¹² Behrensmeyer 1978, p. 152.

¹³ Connell 2008, p. 9.

¹⁴ Brickley, McKinley 2004, p. 16.

mandibulei lipsește condilul mandibular drept. Dentiția este definitivă; au fost recuperăți 20 de dinți, după cum urmează: I¹–P¹ și M³ de pe stânga; I¹–P² și M³ de pe dreapta; C_# și P₂–M₃ de pe stânga și P₂–M₃ de pe dreapta.

Scheletul postcranian este mai bine reprezentat și prezintă câteva oase lipsă (coccis și rotule), segmente parțial recuperate (falangele de la mâini și picioare) sau părți care prezintă distrugeri recente, cum ar fi omoplații (corpul scapular aferent marginii vertebrale și marginea vertebrală, bilateral) și pelvisul (un fragment de la nivelul foramenului sacral IV stâng și mici fragmente de la nivelul foselor iliace).

Determinarea sexului, estimarea vârstei la deces și a staturii

Pentru determinarea sexului a fost utilizat modelul propus de Buikstra și Ubelaker¹⁵. Astfel, caracteristicile generale observate în special la nivelul pelvisului (arc ventral cu aspect de ușoară creastă, lipsa concavitatei subpubiene, suprafață largă a ramului ischiopubic, marele șanț sciatic strâmt/inchis și absența sulcusului prealuricular) și craniului (creasta nucală cu inserții musculare proeminente, procese mastoide mari, margini supraorbitale rotunde, glabelă proeminentă și eminențele mentale mediu exprimate) ne indică faptul că subiectul analizat este de sex masculin.

Vârsta la deces a fost estimată ținând cont de modelul descris de Brooks și Suchey¹⁶. Morfologia simfizelor pubiene corespunzătoare sectorului masculin este asemănătoare fazelor III–IV de evoluție și are valori medii de $23,4\text{--}28,7 \pm 3,6\text{--}6,5$ ani. Așadar, avem de-a face cu un individ din categoria de vîrstă adult Tânăr.

Statura scheletică a fost calculată atât pe baza ecuațiilor de regresie propuse de Pearson¹⁷, utilizând valorile lungimilor maxime ale humerusului, radiusului, femurului și tibiei, cât și pe baza celei descrise de Breitinger¹⁸, bazată doar pe lungimea maximă a femurului (Tabel 1).

Metodă	Statură st./dr. (mm)		Categorie st./dr.
Pearson 1899	168,30 ± 3,31	168,09 ± 3,31	supramijlocie
Breitinger 1937	172,73 ± 4,8	171,94 ± 4,8	mare

Tabel 1. Estimarea staturii scheletice / Stature estimation.

Caractere antropologice. Morfometrie

A fost efectuat un set de măsurători craniene și postcraniene, pentru ale căror valori cunoaștem încadrările pe categorii (Anexă). De la nivelul craniului remarcăm fruntea, care este mijlocie și foarte îngustă, conform lărgimii minime, respectiv maxime. Raportul

celor două lărgimi descrie un indice frontal transversal intermedian. Indicele de curbură frontală se traduce printr-un sector frontal sagital bombat, ortometop.

La nivelul sectorului postcranian întâlnim clavicule robuste, care prezintă bilateral puternice impresiuni ale ligamentului costoclavicular (Fig. 6), humerusuri euribrahe (rotunjite în secțiune) și ulne eurolenice (mediu aplatizate). De asemenea, membrele superioare posedă indici clavicula-humerali și brahiali (radio-humerali) din categoria mijlocie. Osul sacru este larg, platiheric. Membrele inferioare prezintă femurul stâng cu un grad mediu de dezvoltare al pilastrului și puternic dezvoltat la cel de pe dreapta. Diafizele femurale sunt rotunjite sub trohantere. Tibiile sunt aplatizate transversal în dreptul foselor nutritive (plasticnemie). De asemenea, indicele crural (tibio-femural) descrie tibii lungi, dolicocnemice.



Fig. 6. Tuberozități costale bine definite la nivelul extremităților sternale clavicular, inferior / Well defined tuberosities of the rib located at the inferior clavicular sternal extremity.

Condiții patologice

La nivelul aparatului dento-maxilar au fost surprinse două carii dentare care afectează doar coroana (la nivelul M₁ drept, ocluzal și M₃ drept, distal), tartru supragingival pe toată suprafața labială, respectiv bucală și linguală a dinților inferiori (C_# și P₂–M₃ stângi și P₂–M₃ de pe dreapta) și pierderi dentare antemortem bilaterale pe segmentul M¹–M² (Fig. 7).

De asemenea, au fost observate pierderi de substanță osoasă cauzate de o serie de lovitură executate cu ajutorul unui obiect tăios. Zonele afectate sunt: temporalul de pe dreapta la nivelul crestei supramastoide și procesului mastoid (dimensiuni: 35,33 × 23,36 mm, Fig. 8), aria suturii lambdoide stângi pe o lungime de 49,23 mm (instrumentul nu a pătruns în interiorul craniului, nefiind lezată și fața endocraniană, Fig. 9), scuama occipitală în planul median pe o lungime de 20,19 mm și marele trohanter femural drept, antero-lateral, pe o lungime de 34,98 mm și unde obiectul în cauză a pătruns 10,90 mm în interiorul osului (Fig. 10-A).

¹⁵ Buikstra, Ubelaker 1994, p. 16–21.

¹⁶ Brooks, Suchey 1990, p. 227–238.

¹⁷ Rösing 1988, p. 597, apud Pearson 1899.

¹⁸ Breitinger 1937, p. 268.



Fig. 7. Pierderi dentare antemortem la nivelul M¹–M² stângi / Antemortem tooth-loss of left M¹ and M².



Fig. 8. Urme de lovitură executată cu ajutorul unui un obiect tăios la nivelul temporalului drept / Traces of trauma left by a sharp object on the right temporal bone.



Fig. 9. Leziuni exocraniene la nivelul suturii lambdoide stângi (A) și occipitalului (B) / Exo-cranial lesions on the left lambdoid suture (A) and the occipital (B).

Caractere non-metrice (epigenetice) și elemente ale stresului biomecanic (funcțional/ocupațional)

Cu scopul unor viitoare demersuri comparative sau pentru a putea stabili distanța genetică între indivizii ce alcătuiesc o populație au fost înregistrate o serie de caractere non-metrice craniene¹⁹ și postcraniene²⁰. În studiul de față ne-am rezumat doar la cele prezente (împreună cu numărul și gradul lor de dezvoltare), nu și pe cele absente sau neobservabile: sutură supranazală (Fig. 11), două foramene zigomato-faciale bilaterale exprimate (unul larg și unul îngust), sulcus sagital superior direcționat spre



Fig. 10. Femurul drept: A. urme de violență perimortem la nivelul marelui trohanter, B. fațeta lui Poirier / Right femur: A. perimortem traces of trauma on the greater trochanter, B. poirier's facet.

stânga, foramen mentale (bilateral), torus mandibular (invizibil cu ochiul liber, se poate doar palpa), fațeta lui Poirier (pe femurul drept, Fig. 10-B), fațetă articulară laterală tibială (bilateral, Fig. 12), fațetă talară medială dreaptă, extensie talară medială (bilateral), suprafață articulară talară inferioară (bilateral, Fig. 13), fațetă dublă calcaneală anterioară (bilateral) și foramen transvers bipartit la nivelul ultimei vertere cervicale (bilateral). Pe lângă aceste trăsături, menționăm și eroziunile bilaterale identificate la nivelul articulației claviculo-sternale (Fig. 14), iar dintre indicatorii metrii ai stresului funcțional, indicele pilastic femural drept (ridicat) și tibiile platicnemice).

¹⁹ După Hauser, De Stefano 1989.

²⁰ După Finnegan 1978.



Fig. 11. Frontal: sutura supranasală / Frontal: the supranasalis suture.



Fig. 12. Fațetă articulară laterală tibială dreaptă / Lateral articular facet of the right tibia.



Fig. 13. Suprafață articulară talară inferioară, bilateral / Lower talus articular surface, bilateral.



Fig. 14. Eroziuni la nivelul capete sternale ale claviculelor / Erosion of the sternal extremities of the clavicles.

REZULTATE ȘI DISCUȚII

Resturile scheletice analizate sunt bine conservate și aparțin unui individ de sex masculin din categoria adult Tânăr (23,4–28,7 ani). Statura scheletică este situată la granița dintre clasele supramijlocie și mare.

De o importanță majoră și constituind, cu mare probabilitate, cauza morții individului sunt o serie de lovituri identificate în zona craniului (la nivelul temporalului drept, pe sutura lambdoidă stângă și la nivelul occipitalului) și femurului drept (în dreptul marelui trohanter). Morfologia osoasă în zona loviturilor nu prezintă urme de vindecare (prezența matricei osoase cu formare de calus osos și/sau procese de remodelare osoasă). Considerăm că loviturile au fost efectuate cu ajutorul unui obiect tăios, cu lama de lungime medie sau mare, de tipul sabiei sau cuțitului de luptă. Întrucât astfel de arme au fost identificate pe nivelul stratigrafic ce aparține bătăliei de la 1479, suntem îndreptăți să credem că individul a suferit de pe urma unor lovituri cu un astfel de obiect. Stilul de viață al individului analizat este reflectat și prin prezența unor markeri musculo-scheletici identificați la nivel postcranian. Dintre aceștia, amintim fațeta lui Poirier din extremitatea proximală a femurului drept. Această amprentă reprezintă rezultatul unor activități fizice care implică articulația coxo-femurală²¹, cum ar fi de exemplu călăritul²². De asemenea, fațetele articulare laterale tibiale la care se adaugă și fațeta talară medială dreaptă (Fig. 15-A), deși au aceeași funcționalitate (mișcări de hiperdorsiflexie a gambei generate de stresul ocupațional), au etiologii diferite²³. Tot la nivelul talusurilor și tot legat de stresul fizic au fost observate și extensii mediale ale suprafeței trohleare, bilateral exprimate (Fig. 15-B).

²¹ Villote, Knüsel 2009.

²² Molleson, 2007, p. 28.

²³ Boule 2001, p. 345.



Fig. 15. Talus: A. fațetă medială dreptă, B. extensii mediale bilaterale / Talus: A. right medial facet, B. bilateral medial extensions.

Pe lângă mișcările de hiperdorsiflexie, extensiile mediale talare par să fie și rezultatul altor factori, cum ar fi talus valgus sau pes valgus²⁴, cunoscut sub denumirea populară de platfus²⁵. Nu în ultimul rând, menționăm aplativarea medio-laterală semnificativă a tibiilor în regiunea fosei nutritive, ceea ce indică, în general, un mod de viață caracterizat prin activități prelungite, care necesită un efort considerabil sau deplasări pe distanțe lungi²⁶.

BIBLIOGRAFIE

- Aufderheide, Rodriguez-Martin 1998 – A. C. Aufderheide, C. Rodriguez-Martin, *The Cambridge encyclopedia of human paleopathology*, Cambridge, 1998.
- Behrensmeyer 1978 – A. K. Behrensmeyer, *Taphonomic and ecological information from bone weathering*, Paleobiology 4, 2, 1978, p. 150–162.
- Boule 2001 – E. L. Boule, *Osteological features associated with ankle hyperdorsiflexion*, International Journal of Osteoarchaeology, 11, 5, 2001, p. 345–349.
- Breitinger 1937 – E. Breitinger, *Zur berechnung der körperhöhe aus den langen gliedmaßenknochen*, Anthropologischer Anzeiger, 14, 3–4, 1937, p. 249–274.
- Brickley, McKinley 2004 – M. Brickley, J. I. McKinley (eds.), *Guidelines to the standards for recording human remains*, IFA Paper 7, Southampton, 2004.
- Brooks, Suchey, 1990 – S. Brooks, J. M. Suchey, *Skeletal age determination based on the os pubis: a comparison of the Acsádi-Nemeskéri and Suchey-Brooks methods*, Human Evolution, 5, 3, 1990, p. 227–238.
- Buikstra, Ubelaker 1994 – J. E. Buikstra, D. H. Ubelaker (eds.), 1994, *Standards for data collection from human skeletal remains*, Arkansas Archaeological Survey Research Series 44, Fayetteville, 1994.
- Călători străini... 1968 – *Călători străini despre țările române*, vol. I (coord. Maria Holban, M. M. Alexandrescu Dersca-Bulgari, P. Cernovodeanu), București, 1968.
- Connell 2008 – B. Connell, *Preservation and archaeological data*, în: N. Powers (ed.), *Human osteology method statement*, London, 2008, p. 9.
- Damian et alii 2012 – P. Damian, I. Bocan, E. Dumitrascu, D. L. Ene, S. E. I. Ene, M. Streinu, *Raport arheologic de diagnostic. Autostrada Orăştie-Sibiu, Lot 1 (Orăştie-Sebeş), km 00+000–24+110, jud. Hunedoara, Alba*, CCA, campania 2011, Târgu Mureş, 2012, p. 280–281.
- Damian et alii 2013 – P. Damian, A. Samson, I. Ene, M. Vasile, M. Streinu, S. E. I. Ene, M. Duca, C. Bodo, G. Băeștean, *Şibot, com. Şibot, jud. Alba, Punct Cânepiște (Autostrada Orăştie – Sibiu, lot 1, Sit 4, km 8+650 – 8+950)*, CCA, campania 2012, Craiova, 2013, p. 229.
- Finnegan 1978 – M. Finnegan, *Non-metric variation of the infracranial skeleton*, Journal of Anatomy, 125, 1, 1978, p. 23–37.
- Hațegan 1978 – I. Hațegan, *Bătălia de pe Cîmpul Pînii (13 Octombrie 1479)*, Apulum 16, 1978, p. 261–274.
- Hauser, De Stefano 1989 – G. Hauser, G. F. De Stefano, *Epigenetic variants of the human skull*, Stuttgart, 1989.
- Larsen 1982 – C. S. Larsen, *The anthropology of St. Catherines Island. 3. Prehistoric human biological adaptation*, Anthropological Papers of the American Museum of Natural History 57, 3, New York, 1982.
- Moga, Ciugudean 1995 – V. Moga, H. Ciugudean, *Repertoriul arheologic al județului Alba*, Alba Iulia, 1995.
- Molleson 2007 – T. Molleson, *A method for the study of activity related skeletal morphologies*, Bioarchaeology of the Near East, 1, 2007, p. 5–33.
- Oygucu et alii 1998 – I. H. Oygucu, M. A. Kurt, I. Ikiz, T. Erem, D. C. Davies, *Squatting facets on the neck of the talus and extensions of the trochlear surface of the talus in late Byzantine males*, Journal of Anatomy 192, 2, 1998, p. 287–291.
- Pearson 1899 – K. Pearson, *Mathematical contributions to the theory of evolution. V. On the reconstruction of stature of prehistoric races*, Philosophical Transactions of the Royal Society, ser. A, 192, London, 1899, p. 169–244.
- Popa 2010 – C. I. Popa, *Lupta de pe Cîmpul Pînii (13 Octombrie 1479). De la universalitatea lied-ului medieval la recuperarea eroilor naționali*, Terra Sebvs 2, 2010, p. 269–306.
- Popa 2011 – C. I. Popa, *Valea Cugirului din preistorie până în zorii epocii moderne*, Monumenta Archaeologica et Historica, Cluj-Napoca, 2011.
- Rösing 1988 – F. W. Rösing, *Körperhöhenrekonstruktion aus skelettmäßen*, în: R. Knossmann (ed.), *Anthropologie. Handbuch der vergleichenden Biologie des Menschen* 1, Stuttgart, 1988, p. 586–599.
- Samson et alii 2015 – A. Samson, M. Vasile, I. Ene, E. Ene, M. Streinu, C. Bodó, G. Băeștean, *Situl arheologic medieval de la Şibot (Cânepiște), județul Alba. Raport preliminar asupra cercetărilor arheologice preventive (campania 2012)*, CA 21, 2015, p. 327–362.
- Samson 2015 – *Fântânilile medievale din aşezarea de la Şibot (jud. Alba)*, MCA 11, 2015, p. 227–256.
- Suciuc 1968 – C. Suciuc, *Dicționar istoric al localităților din Transilvania*, vol. 2, Iași, 1968.
- Vilotte, Knüsel 2009 – S. Villotte, C. J. Knüsel, *Some remarks about femoroacetabular impingement and osseous non-metric variations of the proximal femur*, Bull. et Mém. de la Soc. d'Anthrop. de Paris 21, 1–2, 2009, p. 95–98.

²⁴ Cea mai comună maladie congenitală a piciorului, pes valgus, are o etiologie neclară și este întâlnită preponderent la bărbați (Aufderheide, Rodriguez-Martin 1998, p. 75).

²⁵ Oygucu et alii 1998, p. 290.

²⁶ Larsen 1982, p. 191.

ANEXĂ

Dimensiuni și indici	Valori st./dr. (mm)	Categorii st./dr.	
Schelet cranian			
9. Lărgime frontală minimă (<i>ft-ft</i>)	99,80	mijlocie	
10. Lărgime frontală maximă (<i>co-co</i>)	110,78	foarte îngustă	
26. Arc frontal sagital (<i>n-b</i>)	135,00		
29. Coardă frontală sagitală (<i>n-b</i>)	120,99		
66. Lărgime bigoniacă (<i>go-go</i>)	113,29	foarte largă	
I12. Indice frontal transversal (9 : 10)	90,09	intermediară	
I22. Indice indice curbură frontală (29 : 26)	89,62	ortometopă	
Schelet postcranian			
Claviculă (C): 1. Lungime maximă	155,58	152,19	
6. Perimetru la mijloc	40,00	40,00	
Indice de robustețe (6 : 1)	25,71	26,28	robustă
Humerus (H): 1. Lungime maximă	337,20	335,04	
2. Lungime fiziologică	331,87	330,37	
5. Diametru maxim la mijloc	22,56	22,49	
6. Diametru minim la mijloc	18,34	18,72	
Indice secțiune diafiză (6 : 5)	83,24	83,24	euribrahă
Indice claviculo-humeral (C1 : H2)	46,88	46,07	mijlocie
Radius (R): 1. Lungime maximă	250,93	254,41	
Indice brahial (R1 : H2)	75,61	75,95	mijlocie
Ulnă: 13. Diametru transversal subsigmoidian	19,87	20,50	mijlocie
14. Diametru sagital subsigmoidian	23,85	24,68	
Indice platolenie (13 : 14)	83,31	83,06	eurolenică
Sacrum: 2. Lungime directă anteroioară	118,00		
5. Lățime antero-superioară	119,22		
Indice sacral (5 : 2)	101,03		platiheric
Femur (F): 1. Lungime maximă	476,77	471,98	
2. Lungime fiziologică	469,10	465,55	
6. Diametru sagital la mijloc	31,08	32,79	
7. Diametru transversal la mijloc	28,11	27,16	
9. Diametru transversal subtrohanterian	31,95	32,86	
10. Diametru sagital subtrohanterian	27,34	28,15	
Indice pilastric (6 : 7)	110,57	120,73	medie
Indice platimeric (10 : 9)	85,57	85,67	eurimeră
Tibia (T): 1a. Lungime maximă	393,09	395,68	
1b. Lungime paralelă	388,53	390,07	
8a. Diametru sagital la fosa nutritivă	36,43	38,73	
9a. Diametru transversal la fosa nutritivă	21,47	22,95	
Indice cnemic (9a : 8a)	58,93	59,26	platicnemică
Indice crural (T1b : F2)	82,82	85,72	dolicocnemică

Valorile principalelor dimensiuni, indicii și categoriile aferente / Values of main dimensions, indexes and respective categories.

